Este Album de fotografías de campo ha sido realizado por la Empresa GEOPRIN,S.A..

* LA FOTOGRAFIA Nº 33 DE LA HOJA HUERTAS DE CHILEGUA (1095 III). PASA A PERTENECER A ESTA HOJA POR ESTAR SITUADA FUERA DEL PLANO DE MUESTRAS.



Fotografía 1.- Aspecto del bandeado, tipo "flysch", en los sedimentos cretáticos del morro del Moral, al sur de la crtra. a Ajuy. (CRETÁCICO)



Fotografía 10.- Venas sieníticas (de color claro) atravesando ijolitas y melteigitas en la Punta de La Nao. (MIOCENO)



Fotografía 11.- Masas de rocas plutónicas de la serie ultraalcalina (Melteigitas, ijolitas y sienitas) atravesadas por diques básicos en la costa, junto a la Punta de La Nao. (MIOCENO)



Fotografía 12.- Detalle de ijolitas en la costa al oeste de Morretes de Tierra Mala. (MIOCENO)



Fotografía 13.- Masas sieníticas atravesadas por diques básicos, en Morretes de Tierra Mala.(MIOCENO)



Fotografía 14.- Detalle de sienitas en la costa próximo a Morretes de Tierra Mala.(MIOCENO)



Fotografía 15.- Bandas de sienitas (color claro) y melteigitas (color oscuro) al norte de la playa de La Solapa. (MIOCENO)



Fotografía 16.- Intensas recristalizaciones sobre un dique básico (jaspeado) y sobre el encajante (rocas plutónica ultraalcalinas), por la intrusión de las werhlitas del Macizo de Mezquez. Barranco de La Palmita. (Mioceno)



Fotografía 17.- Detalle de la intensa recristalización sufrida por los diques de la fotografía anterior. (MIOCENO)



Fotografía 18.- Fragmento de un dique básico con intensa recristalización en el barranco de La Palmita. (MIOCENO)



Fotografía 19.- Panorámica de las bandas de werhlitas y gabros del Macizo de Mézquez en el Cuchillo del Aulagar.(MIOCENO)



Fotografía 2.- Sedimentos cretácicos bandeados en el barranco de Sojames. (CRETÁCICO)



Fotografía 20.- Panorámica de la cabecera del barranco de La Palmita. Bandas de werhlitas y gabros. (MIOCENO)



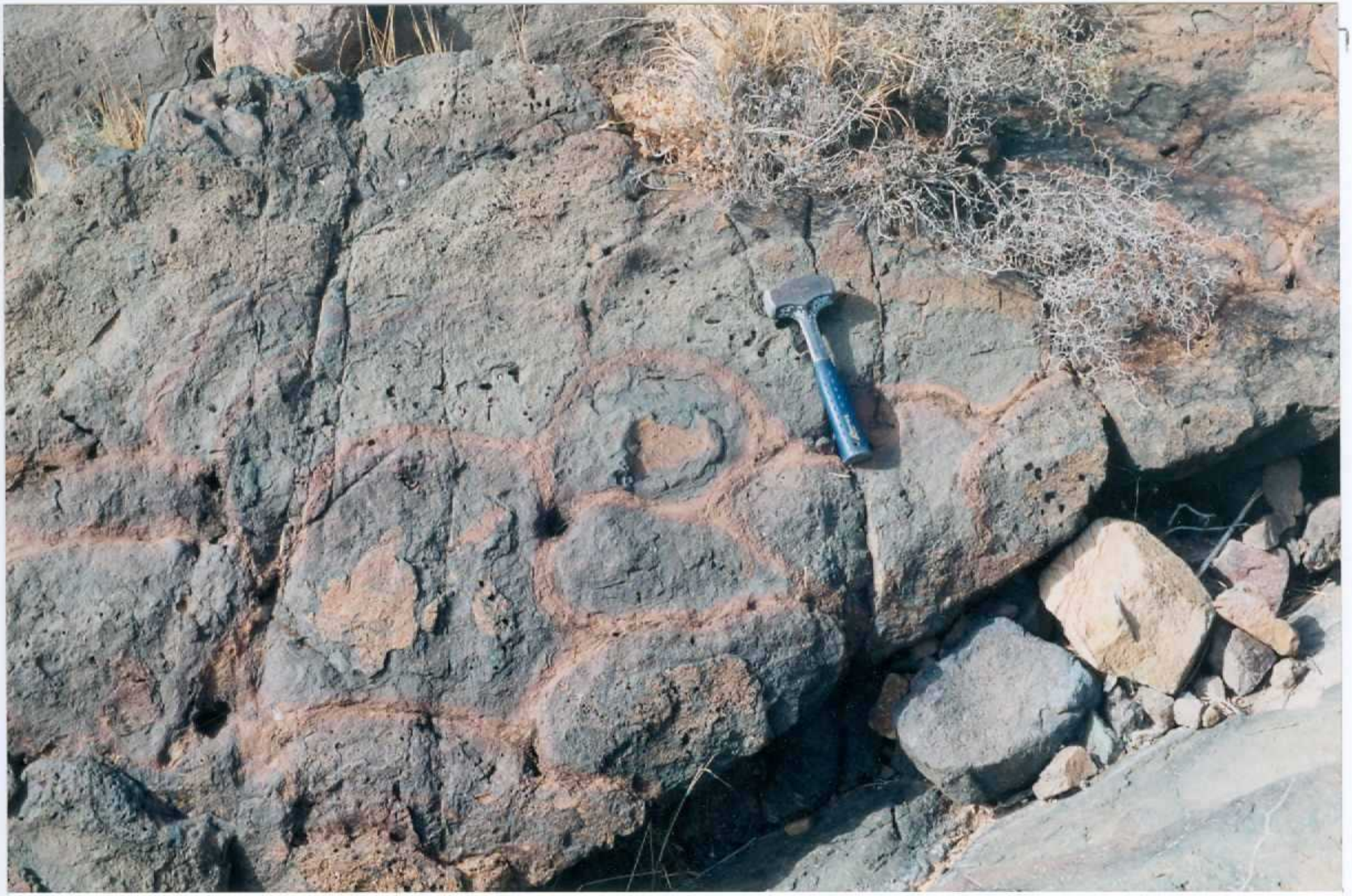
Fotografía 21.- Panorámica de la ladera norte del barranco de La Solapa. Bandas de werhlitas y gabros del Macizo de Mézquez.(MIOCENO)



Fotografía 22.- Collado al oeste del Morrete de Los Yeseros. En primer término, gabros pertenecientes al Macizo de Mézquez. (MIOCENO)



Fotografía 23.- Detalle de la brecha sálica, muy compactada, en la ladera E. del Morro de Gregorio. (MIOCENO)



Fotografía 24.- Lavas con aspecto almohadillado en basaltos plagioclásicos del Edificio Betancuria. Zona de El Morrete. (MIOCENO)



Fotografía 25.- Otro aspecto de detalle de las coladas de basaltos plagioclásicos de la fotografía anterior. (MIOCENO)



Fotografía 26.- Detalle de materiales fragmentarios, tipo aglutinados, del Edificio Betancuria en el barranco del Peñón.(MIOCENO)



Fotografía 27.- Detalle de los enclaves en la intrusión traquítica al sur de Los Lomitos de Garcey. (MIOCENO)



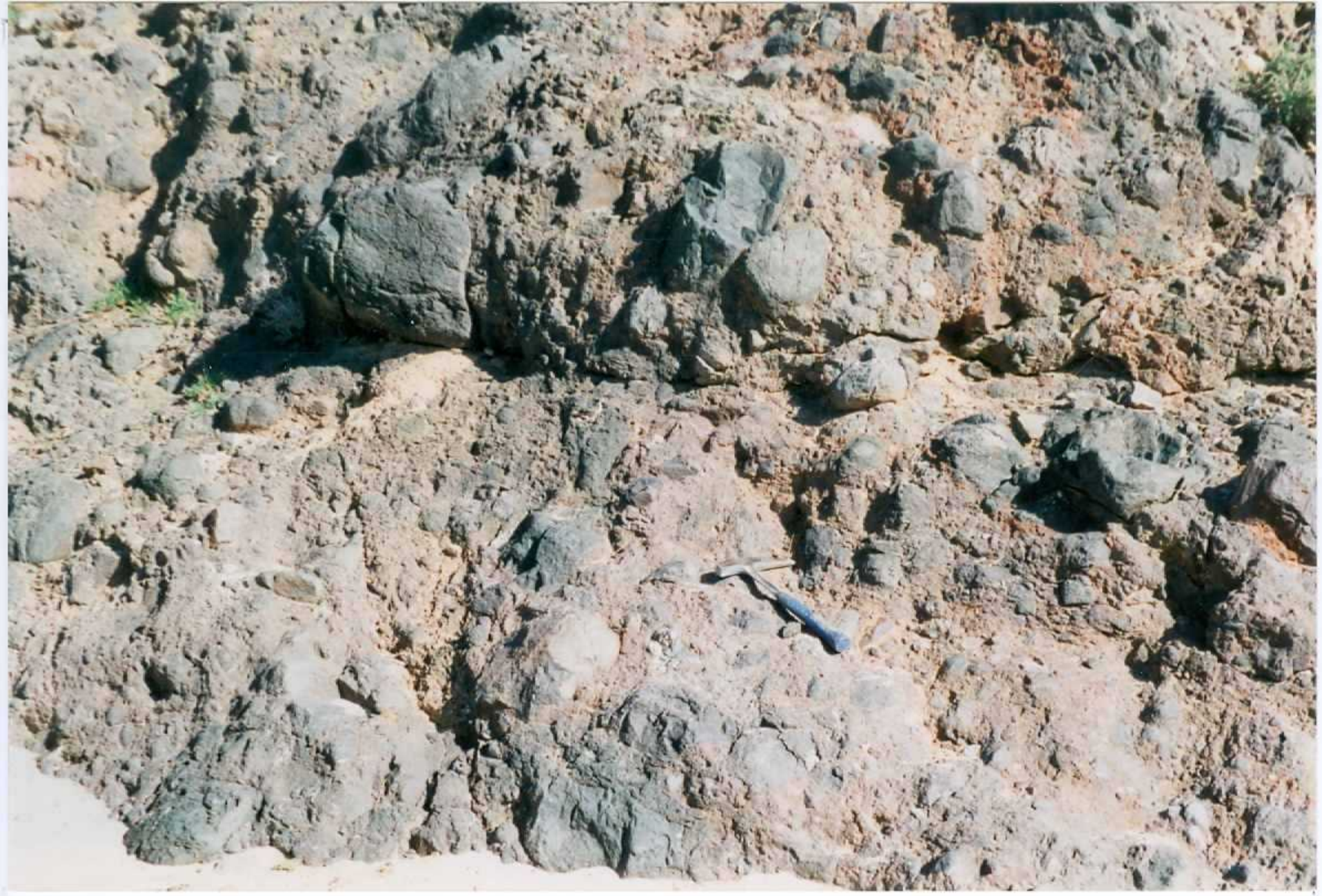
Fotografía 28.- Desembocadura del barranco de La Solapa. - Sedimentos aluviales de conglomerados bajo la colada basáltica miocena, de los Episodios - Tardio. Al techo materiales de la rasa pliocena. (R). (MIOCENO)



Fotografía 29.- Dique básico tardío atravesando las brechas miocenas en un barranquito al NE. del de Vigocho. A techo, depósitos de conglomerados y arenas pliocenas. (MIOCENO)



Fotografía 3.- Panorámica de la malla de diques del Complejo Basal en la ladera norte del barranco de La Peña. (OLIGOCENO-MIOCENO)



Fotografía 30.- Detalle de las brechas miocenas, en las proximidades de la desembocadura del barranco de Vigocho. (MIOCENO)



Fotografía 31.- Intrusión traquítica al sur de Los Lomitos de Garcey. (MIOCENO)



Fotografía 32.- Colada basáltica miocena de los episodios tardíos en el barranco del Morro de La Huesa. A techo arenas eólicas pliocenas. (Mioceno)



Fotografía 33.- Panorámica de la playa de Ajuy y del Puerto de La Peña. Superficie de arrasamiento plioceno (R) sobre los materiales del Complejo Basal. (PLIOCENO)



Fotografía 34.- Detalle de la rasa pliocena de la fotografía anterior. Playa de Ajuy.
(PLIOCENO)



Fotografía 35.- Panorámica de la costa entre La Punta e La Nao y La Galeta de Los Muertos. Nivel de rasa pliocena (R) sobre los sedimentos del Complejo Basal. Sobre la rasa se observan lentejones de arenas eólicas entre los depósitos de ladera. (OLIGOCENO - PLIOCENO)



Fotografía 36.- Detalle de los depósitos pliocenos en el Puerto de La Palmita. Sobre la rasa (R) se observan arenas eólicas (E) y lentejones aluviales de conglomerados y arenas (Cg). (PLIOCENO)



Fotografía 37.- Detalle de los conglomerados de la rasa pliocena, al norte de la playa de La Solapa. (PLIOCENO)



Fotografía 38.- Panorámica de los depósitos de la rasa pliocena al norte del barranco de La Solapa. (Plioceno)



Fotografía 39.- Alternancia de materiales eólicos y aluviales sobre la rasa pliocena, entre la punta de Don Blas y Jurado de Garcey. (PLIOCENO)



Fotografía 4.- Contacto entre la malla de diques del Complejo Basal (CB) y la colada basáltica con pillow lavas (C), del Edificio Morro Valdés, en la desembocadura del barranco de La Peña. (OLIGOCENO-MIOCENO)



Fotografía 40.- Arenas eólicas fósiles sobre los materiales del Complejo Basal, en la zona de La Baja del Palo. (PLIOCENO)



Fotografía 41.- Colada basáltica pliocena, del Edificio Morro Valdés, sobre los materiales del Complejo Basal. La Ladera N. del barranco de La Peña. (PLIOCENO)



Fotografía 42.- Apilamiento de coladas basálticas de Morro Valdés, en la ladera sur del barranco de La Peña. En la base del apilamiento se observan unos lentejones de conglomerados (Cg5 de color rojizo discordantes sobre el Complejo Basal (CB). (PLIOCENO)



Fotografía 43.- Panorámica de los conos de deyección adosados a la ladera oeste del Morrete Comisianes.(CUATERNARIO)



Fotografía 44.- Panorámica, hacia el sur, de los depósitps pliocenos sobre el Complejo Basal. Costa occidental de la isla, entre los barrancos de La Palmita y de La Solapa. (PLIOCENO)



Fotografía 45.- Panorámica de la playa de La Solapa y costa occidental. Depósitos aluviales con intercalaciones eólicas sobre la rasa pliocena. (PLIO-CUATERNARIO)



Fotografía 46.- Colada basáltica de la alineación de volcanes de Pájara (Fase Reciente). (HOLOCENO)



Fotografía 47.- Panorámica de los tres volcanes de la alineación de Pájara vistos desde el norte. (HOLOCENO)



Fotografía 48.- Caldera de Gairia o volcán de Agua de Bueyes. Cono volcánico de Fase Reciente. (HOLOCENO)



Fotografía 49.- Cráter del volcán Caldera de Gairia. (HOLOCENO)



Fotografía 5.- Malla de diques del Complejo Basal atravesando rocas plutónicas de tipo piroxenitas-wehrlitas en un barranquito al O. del Lomo de Las Perlas. (OLIGOCENO-MIOCENO)



Fotografía 50.- Arenas eólicas pleistocenas al sur de Los Lomitos de Garcey.(PLEISTOCENO)



Fotografía 51.- Depósitos arenosos aterrazados en el barranco de Vigocho.(CUATERNARIO)



Fotografía 52.- Panorámica de la playa de Ajuy. Rasa pliocena (R) sobre los materiales del Complejo Basal. A techo se observan arenas eólicas (E) y las coladas pliocenas (C) del Edificio Morro Valdés. (CUATERNARIO)



Fotografía 53.- Playa de Garcey. Al fondo de la rasa y los depósitos pliocenos sobre el Complejo Basal. (CUATERNARIO)



Fotografía 6.- Detalle de los ojales ("screems") de rocas plutónicas entre los diques de la fotografía anterior. (OLIGOCENO - MIOCENO)



Fotografía 7.- Diques básicos cortando rocas plutónicas de la serie ultraalcalina (melteigitas, ijolitas y sienitas) en la Laja de Gaspar González. (OLIGOCENO-MIOCENO)



Fotografía 8.- Otro aspecto del punto anterior en el cual se observa la brechificación existente e hibridación en las melteigitas, ijolitas y sienitas. (OLIGOC.-MIOCENO)



Fotografía 9.- Detalle de las carbonatitas en la Punta de La Nao.(MIOCENO)